

آنالیز حساسیت بر روی عوامل تأثیرگذار در میزان نشست زمین حین عملیات لوله‌رانی به روش میکروتونلینگ

منصوره کخدای بلقور (کارشناس ارشد)

دانشکده عمران، دانشگاه سمنان

عبدالحسین حداد (دانشیار)

دانشکده هندسی، دانشگاه سمنان

حجت دهستانی* (موبایل)

دانشکده هندسی، دانشگاه صنعتی قوچان

稼 به جایی‌های ناشی از حفاری در عمق زمین به عوامل زیادی، از جمله: وضعیت زمین‌شناسی، وضعیت آب‌های زیرزمینی، هندسه و عمق حفاری، روش مقاری، کیفیت و مدیریت ساخت وابسته است. آگاهی از میزان تأثیر هر کدام از پارامترهای تأثیرگذار می‌تواند باعث انجام اقدامات پیش‌گیرانه به منظور جلوگیری از ایجاد صدمه به ساختارهای سطحی یا کاهش آن شود. هدف از انجام مطالعه‌ی حاضر، مقایسه‌ی تغییر شکل‌های واقعی رخداده در سطح زمین حاصل از رفتار سنگی با مقادیر تحلیل عددی و بررسی تأثیر پارامترهای مختلف در میزان نشست خاک است. نتایج حاصل از آنالیز حساسیت نشان می‌دهد برای یک نسبت ثابت از ارتفاع خاک روی لوله به قطر لوله، با افزایش زاویه اصطکاک و افزایش عمق استقرار لوله علاوه بر کاهش مقدار نشست، شبیه تغییرات نشست نیز کاهش می‌یابد. شکل کلی نمودارها نشان می‌دهد در حالت کلی با ثابت نگه داشتن ضخامت لایه‌ی خاکی، با افزایش قطر لوله، میزان نشست افزایش می‌یابد و زیاد شدن زاویه اصطکاک نیز به افزایش مذکور کمک می‌کند. همچنین هر چه نسبت ارتفاع لایه‌ی خاکی به قطر لوله، عدد کمتری باشد، مقادیر نشست بزرگ‌تری بدست می‌آید.

m_civil_k@yahoo.com
ahadad@semnan.ac.ir
dehestani@qiet.ac.ir

وازگان کلیدی: میکروتونلینگ، لوله‌رانی، تغییر شکل خاک، تحلیل عددی، آنالیز حساسیت.

۱. مقدمه

کشف علت به وجود آمدن آنها و سپس دنبال کردن روشی جهت اجتناب از رخداد این گونه نشست‌های است. در این صورت احتمال بروز نشست‌های بزرگ بهشت کاهش می‌یابد. تغییر شکل‌های سیستماتیک به کمک توزیع احتمالی منحنی‌های که در پژوهشی در سال ۱۹۶۹ ارائه شده است^[۱]، قابل تخمین است. جهت تخمین نشست‌های سیستماتیک، آنالیز حساسیت برای سنجش نسبت اهمیت پارامترهای مستقل در میزان نشست‌های سیستماتیک، روش مناسبی است. نشست‌های اندازه‌گیری شده در محل، در صورتی که کمتر از ۱/۲ یا ۱/۳ مقادیر محاسبه شده باشند، فرض بر این است که تغییرات حجم خاک ناچیز و قابل چشم‌پوشی است. نشست‌های بیشتر از مقدار ذکر شده و برای حالتی که نسبت عمق حفاری به قطر تونل بیشتر از ۳ است، قابل قبول نیست. برآمدگی‌ها ممکن است ناشی از فشار بیش از حد سیال به کاربرده در حفاری، ضخامت لایه‌ی خاکی ناکافی نسبت به قطر حفاری و یا به دلیل خاصیت تورم پذیری خاک‌های رسی با حالت خمیری بالا باشد.

稼 به جایی‌های ناشی از حفاری در عمق زمین به عوامل زیادی، از جمله: وضعیت زمین‌شناسی، وضعیت آب‌های زیرزمینی، هندسه و عمق حفاری، روش مقاری، کیفیت و مدیریت ساخت وابسته است. آگاهی از میزان تأثیر هر کدام از پارامترهای تأثیرگذار می‌تواند باعث انجام اقدامات پیش‌گیرانه به منظور جلوگیری از ایجاد صدمه به ساختارهای سطحی و یا کاهش آن شود. هدف از انجام مطالعه‌ی حاضر، مقایسه‌ی تغییر شکل‌های واقعی رخداده در سطح زمین حاصل از رفتار سنگی با مقادیر تحلیل عددی و بررسی تأثیر پارامترهای مختلف در میزان نشست خاک است. نتایج حاصل از آنالیز حساسیت نشان می‌دهد برای یک نسبت ثابت از ارتفاع خاک روی لوله به قطر لوله، با افزایش زاویه اصطکاک و افزایش عمق استقرار لوله علاوه بر کاهش مقدار نشست، شبیه تغییرات نشست نیز کاهش می‌یابد. شکل کلی نمودارها نشان می‌دهد در حالت کلی با ثابت نگه داشتن ضخامت لایه‌ی خاکی، با افزایش قطر لوله، میزان نشست افزایش می‌یابد و زیاد شدن زاویه اصطکاک نیز به افزایش مذکور کمک می‌کند. همچنین هر چه نسبت ارتفاع لایه‌ی خاکی به قطر لوله، عدد کمتری باشد، مقادیر نشست بزرگ‌تری بدست می‌آید.

* نویسنده مسئول

تاریخ: دریافت ۱۳۹۴/۴/۱۰، اصلاحیه ۱۳۹۵/۴/۸، پذیرش ۱۳۹۵/۵/۴

DOI: 10.24200/J30.2018.1328

دیگری (۱۹۷۶) بر روی تونل های مترو در واشنگتن،^[۷] علم تغییر شکل های زمین شناسابی و دسته بندی صورت گرفته و نتیجه گیری شده است که تأثیر شرایط زمین، روش ساخت و کیفیت کار در اندازه و توزیع تغییر شکل زمین اهمیت زیادی دارد.

همچنین مطالعات دیگری برای تخمین نشست تونل با استفاده از منحنی های توزیع پک روی ۱۸ تونل در شرایط زمین متفاوت صورت گرفته است: ۵ تونل در رس سخت ترک خورده، ۶ تونل در رس های نرم سیلتی، ۲ تونل در خاک های سست دانه بی، ۳ تونل در سنگ و ۲ تونل در زمین های سست. با توجه به برخی از نتایج به دست آمده از مطالعات ذکر شده می توان اظهار کرد که رابطه مشخصی بین سستی زمین و نسبت پایداری، نسبت تفاصل تنش عمودی و فشار هوا به مقاومت منظور از نسبت پایداری، نسبت تفاصل تنش عمودی و فشار هوا به مقاومت برشی زهکشی نشده است. در نوشتار ارائه شده بی مربوط به تغییر شکل زمین در عملیات میکروتونلینگ (۱۹۶۹) اظهار شده است روشی که برای تخمین نشست در تونل های بزرگ به کار می رود، قابل استفاده در پروژه های میکروتونلینگ است. زیرا میکروتونل ها و تونل های بزرگ از نظر روند ساخت بسیار به هم شباهت دارند.^[۸]

همچنین در بررسی اثر اجرای میکروتونلینگ در خاک های ماسه بی و نرم چند لایه (۲۰۱۳) از لوله های فولادی ۷۰۰ میلی متری با پوشش pvc ۴۰۰ میلی متری در خاک های نرم استفاده شده و درنهایت، راهکاری برای اجرای مناسب لوله رانی در خاک های نرم ارائه شده است.^[۹] در مطالعه دیگری (۲۰۱۰)، به افزایش نشست، تورم و واگونی ماشین های میکروتونلینگ به علت از بین رفتن یا تنظیم نامناسب شیب لوله رانی در خاک های بسیار شل، غیرچسبنده و خیلی نرم اشاره شده و پیشنهادهایی به جای استفاده از تزریق ملات جهت تثیت زمین، راهکارهایی نظیر: استفاده از تیوب های ریلی، لوله های اکتشافی در ماشین های میکروتونلینگ، استفاده از میله های داخلی و خارجی جهت تنظیم شیب لوله رانی، استفاده از ماشین های سپک و کنترل شیب خاک برداری ارائه شده است. همچنین شرایط مؤثر در تنظیم شیب لوله رانی در خاک های نرم و شل بررسی شده است.^[۱۰]

در پژوهش دیگری (۲۰۱۵) به مزایای روش میکروتونلینگ در کنترل شیب لوله رانی و نصب سیستم لوله های فاضلاب بدون پوشش اشاره شده و عوامل تاثیرگذاری که ممکن است باعث شکست و گسیختگی در طی مراحل اجرای میکروتونلینگ شوند، نیز بررسی شده است. درنهایت با بررسی یک پروژه موردی به بررسی عوامل مذکور پرداخته و راهکاری مناسب پیشنهاد شده است.^[۱۱] در نوشتار دیگر (۲۰۱۵)، روش میکروتونلینگ برای اجرای لوله های فاضلاب با خطوط، شیب و فواصل دقیق معرفی و با تغییر در عمق پوشش ها، طول فرو رفتن لوله، تغییر قطر لوله ها و تعیین محل مناسب لوله گذاری، نیز بررسی بهینه در روش میکروتونلینگ ارزیابی شده است.^[۱۲] همچنین مطالعاتی (۲۰۱۲) بر روی تحلیل عددی سه بعدی رفتار خاک در روش لوله رانی انجام شده است که هدف آن کارگذاری لوله ای بتنی مسلح به قطر ۲/۴ متر و طول ۲۳/۸۵ متر در زیر بزرگراه بوده است که برای جلوگیری از جابه جایی ناشی از لوله رانی، دوغاب با فشاری بیشتر از 10 kgf/cm^2 موردنیاز بوده است.

تأثیر پارامترهای خاک در نتایج نهایی بررسی نشده و فقط به شرایط خاص پروژه محدود شده است.^[۱۳] در پژوهش دیگری (۲۰۱۳)، تأثیر پارامترهایی مانند: عمق، فشار رو باره، ابعاد تونل و فشار سیلتی کار در حفاری مکانیزه با روش متعادل کننده فشار زمین بر روی کنترل نشست های سطحی بررسی شده است.^[۱۴] در بررسی نشست حاصل از حفاری تونل های چندگانه در تایوان (۲۰۱۲) نیز با استفاده از روش های تجربی و عددی، کارایی بالاتر روش های عددی نتیجه گیری شده است.^[۱۵] در مطالعات دیگری (۱۹۹۸) بر روی نشست های سیستماتیک ناشی از

در عملیات میکروتونلینگ، معمولاً میزان بزرگی های مذکور و ناحیه بی که تحت تأثیر قرار می گیرد، به حدی است که نیازی به نگرانی جهت وارد آمدن خسارت به سازه های مجاور نیست.

۲. مروری بر مطالعات پیشین

بخشی از جایه جایی زمین حین عملیات میکروتونلینگ، نتیجه های رویدادهای غیرقابل انتظار و نشست های بزرگ و بخشی به صورت نشست های سیستماتیک و قابل پیش بینی است. با پیشرفت تکنولوژی در زمینه کنترل فشار دستگاه جهت ایجاد تعادل میان فشار ناشی از سطح آب زیرزمینی و فشار خاک، مشکل ذکر شده به شدت کاهش یافته است. همچنین ضروری است با توجه به نیازهای پروژه، محدودیت های لازم جهت اجرای صحیح در نظر گرفته شود. نشست های سیستماتیک یا نرمال به تغییر شکل های به وجود آمده در فضای حلقه حفاری یا بالای لوله وابسته اند. نشست های سیستماتیک کوچک ممکن است در نتیجه های تغییر شکل های ناشی از پیشانی حفاری باشند، لذا در گروه تغییر شکل های بزرگ قرار نمی گیرند.

ارتباط بین فضای حلقه ای، ضخامت خاک بالای لوله، قطر و نشست سیستماتیک توسط پژوهشگران برای تغییر شکل های حاصل از حفاری تونل های با سپر محافظ با قطراهای بزرگ در خاک های نرم بررسی شده است. برخی از پژوهشگران در مطالعات خود در رابطه با حفاری های عمیق تونلینگ، روش هایی برای پیش بینی نشست اطراف تونل در خاک های رسی نرم ارائه داده اند.^[۱۶] در این مطالعات در شرایطی که نسبت پایداری در رابطه ۱ کمتر از عدد ۴ باشد، می توان از مقدار نشست سیستماتیک خاک صرف نظر کرد:

$$(1) R = (\sigma_z - P_a)/S_u$$

که در آن، R نسبت پایداری؛ σ_z نتش عمودی؛ P_a فشار لازم جهت ایجاد تعادل در قسمت کاترهد و S_u مقاومت بر شی زهکشی نشده خاک هستند. در این خاک ها نشست اندازه گیری شده با نسبت H/D (نسبت ارتفاع خاک روی تاج لوله به قطر) رابطه عکس دارد و تقریباً با قطر لوله متناسب است. برای مصالح دانه بی غیرچسبنده، اگر در حین حفاری از رانش زمین جلوگیری شود و آب زیرزمینی با تزریق دوغاب سیمان و یا خشک کردن محل مهار شود، نشست ها به کمتر از ۲٪ از حجم تونل محدود می شود که این مقدار نشست نشانه بی از حسن انجام عملیات است. در صورت مواجهه با نشست های بزرگ تر از مقدار توصیه شده، باید لایه بندی خاک و روش مورد استفاده در خشک کردن خاک محل کنترل شود.^[۱۷] نتایج بررسی های نشست روی خاک های مختلف نشان می دهد که خاک های رسی نرم تا کمی سخت، بیشترین نشست را نسبت به خاک های دیگر دارند. در خاک های رسی، نشست های تحکیمی تا نوبه اهیت زیادی دارند. با توجه به نتایج به دست آمده از مطالعاتی در سال ۱۹۶۹^[۱۸] بر روی ۷ پروژه در خاک های رسی نرم تا سخت، بیشترین میزان نشست برای خاک های رسی نرم حدود ۹/۱ میلی متر در حفاری تونل مترو در تورنتو به قطر ۵۲۳ سانتی متر و نشستی حدود ۷۳۱/۵۲ میلی متر در حفاری تونل راه آهن در نروز به قطر ۷۹۲ سانتی متر در خاک رسی با حساسیت بالا و لایه های سیلت اندازه گیری شده است (لازم به ذکر است در دو مورد ذکر شده، حفاری به وسیله سپر محافظت گرفته است). معمولاً به جزء مورد به دست آمده از تونل راه آهن نروز نشست های برای خاک های رسی کمتر از ۱۲۱/۹۲ میلی متر گزارش شده است. نتایج به دست آمده از مطالعات مذکور را می توان برای تخمین نشست ناشی از تونل زمی با متode حفاری محافظت به کار برد.^[۱۹] در مطالعات

حفاری تونل استفاده می شود. با روش مذکور می توان خطوط بسیار طولانی با قطرهای بالا اجرا کرد. مهم ترین مزیت های فنی روش میکروتونلینگ به این قرار است:

استحکام ذاتی

- جدارهای داخلی یک دست و صاف و سیالی مناسب;
- عدم نیاز به اجرای پوشش ژئو؛
- اتصالات بسیار کمتر در مقایسه با تونل های سگمنتی؛
- جلوگیری از نفوذ آب های زیرزمینی از طریق استفاده از لوله هایی با اتصالاتی ناتروا و آب بند؛
- خطر نشست بسیار کمتر نسبت به روش های سنتی؛
- ایجاد کمینه هی اختلال در سطح زمین؛
- کمینه سازی عملیات ترمیمی (برگردان به حالت اول)؛
- کاهش جابه جایی و تغییر مسیر تأسیسات زیرزمینی در مناطق شهری.^[۱۸]

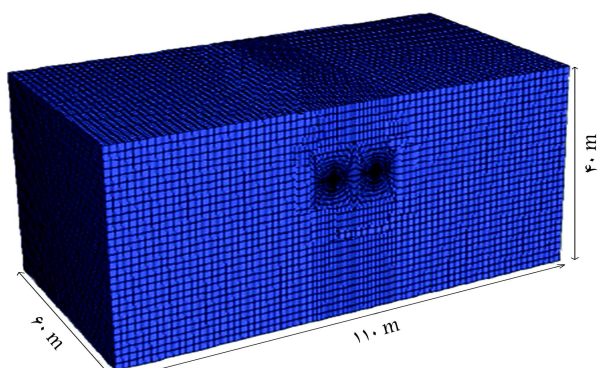
از معایب روش میکروتونلینگ می توان به هزینه های بالا جهت تأمین تجهیزات میکروتونلینگ اشاره کرد. این دستگاه در خاک هایی که قاوه سنگ با قطر بزرگ تراز ۲۰٪ و یا ۳۰٪ فطر ماشین دارند، مشکل دارد و همچنین در مواجه با موادی مانند سازه های پیش ساخته شده در مسیر دچار مشکل می شود. یکی از محدودیت های بزرگ روش مذکور، عدم بکارگیری لوله های انعطاف پذیر و یا با مقاومت کم مانند لوله های PE, PVC است.

۴. صحبت سنجی مدل و نحوه ای مدل سازی عملیات

حفاری و لوله رانی با استفاده از نرم افزار

جهت صحبت سنجی مدل سازی عددی، حدود ۶۰ متر از مسیر خط ۱ مترو تبریز در نرم افزار FLAC^{3D} مدل سازی و تحلیل شده است. نتایج حاصل با نتایج به دست آمده از نرم افزار ANSYS در پژوهش حسینی و همکاران^[۱۹] مقایسه شده است. نمای سه بعدی مدل عددی در شکل ۲ نشان داده شده است. رفتار خاک به صورت کشسان خمیری و بر طبق معیار موهر - کلیب بوده و پارامترهای مورد استفاده در جدول های ۱ و ۲ ارائه شده اند.

تحلیل برای فاصله های مختلف دو تونل از هم (فاصله ۷, ۳, ۵ و ۱۰ متر) انجام شده است. خط مرکزی تونل اول به عنوان خط مبنا در نظر گرفته شده و منحنی های نشست مطابق شکل ۳، برای سه حالت موردنظر به دست آمده اند.



شکل ۲. نمای سه بعدی مدل عددی تونل های دوقلوی خط ۱ مترو تبریز.^[۱۹]

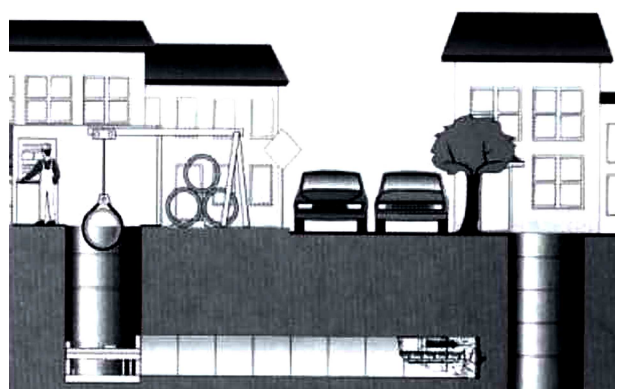
میکروتونلینگ روابطی ارائه شده است که نشست سیستماتیک را مانند منحنی توزیع نرمال وارونه در نظر می گیرد.^[۱۵] در نوشتار حاضر، نشست های سیستماتیک از روش ذکر شده ای اخیر محاسبه شده اند. جهت تخمین نشست های سیستماتیک، آنالیز حساسیت برای سنجش نسبت اهمیت پارامترهای مستقل در میزان نشست های مذکور روش مناسبی است.

۳. معرفی روش میکروتونلینگ

در روش میکروتونلینگ (MT) از جک های هیدرولیکی بسیار قوی برای راندن لوله هایی با طراحی مخصوص در اعماق مختلف خاک استفاده می شود. لوله ها در پشت جک قرار می گیرند و هم زمان با حفر زمین، با استفاده از جک هیدرولیکی به درون زمین رانده می شوند. حاصل روش میکروتونلینگ، احداث یک خط لوله ای انعطاف پذیر، ناتروا و به لحاظ سازه می مقاوم است.

گرچه ممکن است ملاحظات مهندسی و اقتصادی، محدودیت هایی را ایجاد کنند، ولی به لحاظ نظری هیچ گونه محدودیتی در مورد طول رانش وجود ندارد. رانش هایی به طول چند ۱۵۰ متر، چه در یک خط مستقیم و چه در شعاع های مختلف، قابل اجرا هستند و لوله هایی با قطرهای ۱۵۰ تا ۳۰۰ میلی متر و حتی بیشتر را می توان با استفاده از سیستم مناسب نصب کرد. تعریفی از میکروتونلینگ که در کشورهای اروپایی متدائل است، عبارت است از عملیات جک زنی برای مسیرهایی با قطر کمتر یا مساوی ۳۶ اینچ که نیازی به کارگر در داخل مجرای ندارد. در حالی که در آمریکای شمالی، روش میکروتونلینگ حتی برای قطرهای بزرگ تر و آدم رواها نیز استفاده می شود. دستگاه های میکروتونلینگ جدید که مجهز به لیزرو و آدم رواها نیز استفاده می شود. دستگاه خلط لوله را هدایت و با دقت کارگذاری کنند. در روش میکروتونلینگ، بیشینه ای انحراف مجاز از مسیر لوله رانی در امتداد افقی و قائم، ۱ اینچ است.^[۱۶] شکل ۱، نحوه جک زنی لوله توسط دستگاه میکروتونلینگ را نشان می دهد.

کاربردهای اصلی میکروتونلینگ، شامل: احداث سازه های زهکشی و دفع فاضلاب، جایگزین کردن و تأمین پوشش خطوط موجود فاضلاب، خطوط اصلی گاز و آب، خطوط نفت، گاز، برق، مخابرات و غیره می شود. از روش مذکور همچنین می توان جهت عبور از موادی، مانند: بزرگراه ها، خطوط قطار، رودخانه ها، کانال ها، ساختمان ها و فرودگاه ها که در مسیر خط لوله قرار دارند با هدف کمینه سازی اختلال در عبور و مرور و سایر فعالیت هایی که در سطح زمین انجام می شود، استفاده کرد. میکروتونلینگ معمولاً به عنوان جایگزین برای روش های ترانشه ای بازو و سایر روش های



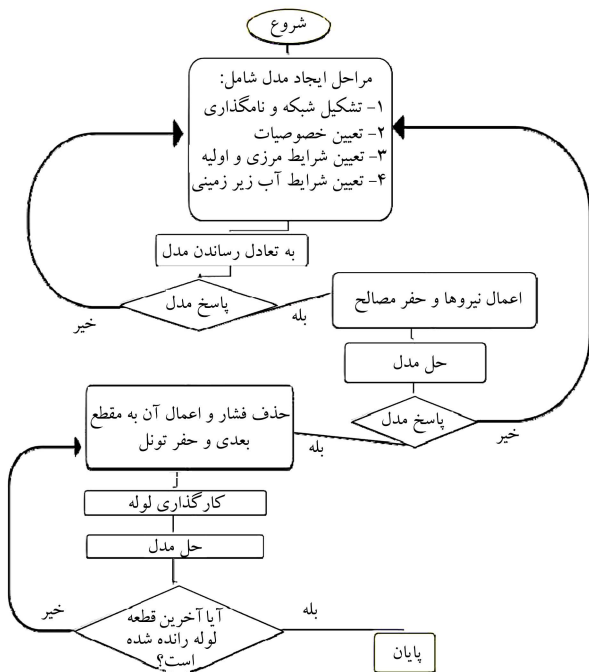
شکل ۱. نحوه جک زنی لوله با استفاده از دستگاه میکروتونلینگ.^[۱۷]

جدول ۱. مشخصات مصالح خاک.^[۱۹]

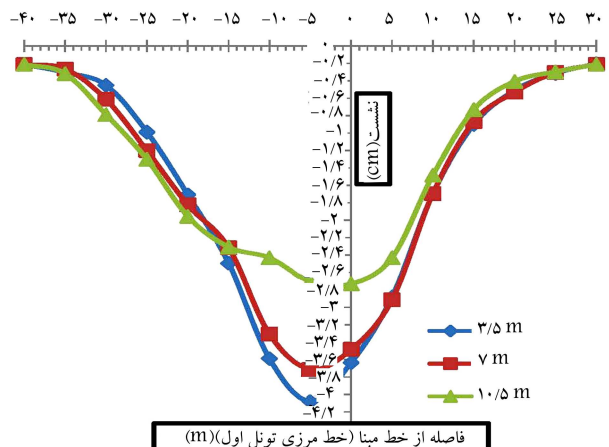
واحد	لایه‌ی					نام	پارامتر
	چهارم	سوم	دوم	اول	موهر - کلینب		
-	موهر - کلینب	مدل	مدل رفتاری				
MPa	۳۲,۳۴	۳۲,۳۴	۲۲,۳	۱۵,۶۲	K	مدول حجمی	
MPa	۱۱,۲	۱۵,۴	۷,۴	۵,۶	G	مدول برشی	
MPa	۰,۰۲۵	۰	۰,۰۱۵	۰	C	ثابت چسبندگی	
O	۳۴	۳۳	۱۵	۵	φ	زاویه اصطکاک	
M	۲۰	۱۵	۸	۵		ضخامت لایه	
M				۶		سطح آب	

جدول ۲. مشخصات تونل.^[۱۹]

پارامتر	مدول کشسانی ضریب پواسون (GPa)
سپر	۰,۲۵
پوشش سگمنت	۰,۲۰



شکل ۴. روند حل مسئله‌ی حفاری و لوله با استفاده از نرم‌افزار FLAC^{3D}.



شکل ۳. نشست سطح زمین برای فاصله‌های مختلف تونل‌های موازی از هم در قسمتی از خط ۱ مترو تبریز.

میزان اختلاف مقادیر نشست با نتایج حاصل از نوشتار حسینی و همکاران،^[۱۹] حدود ۶٪ است که قابل قبول است. برای ایجاد یک مدل و اجرای شبیه‌سازی آن، باید اجراء اساسی برای مسئله تعریف شوند، که عبارت‌اند از:

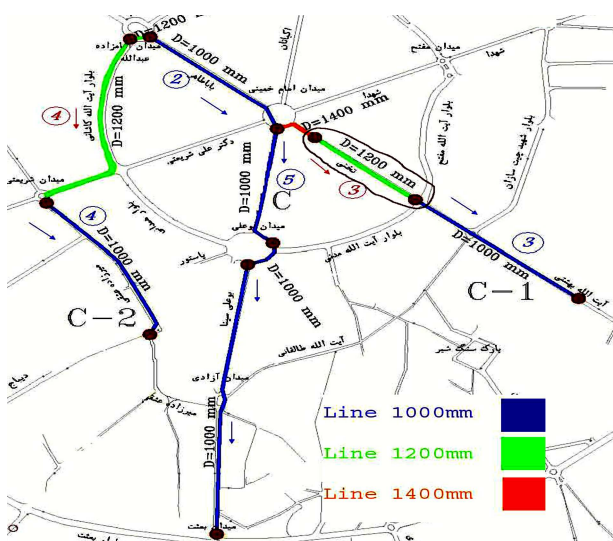
- ایجاد شبکه‌ی تفاضل محدود،
- تعریف رفتار و خصوصیات مواد،
- تعیین شرایط مرزی و اولیه.

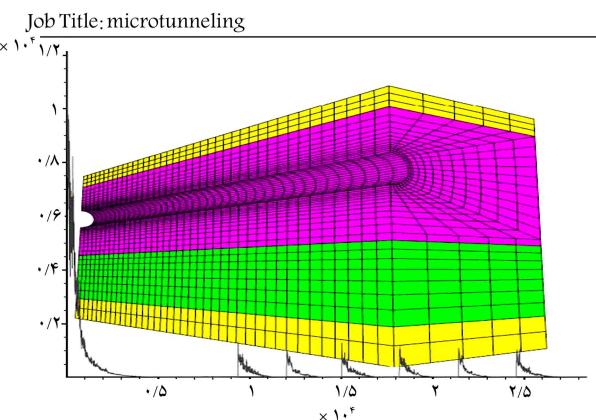
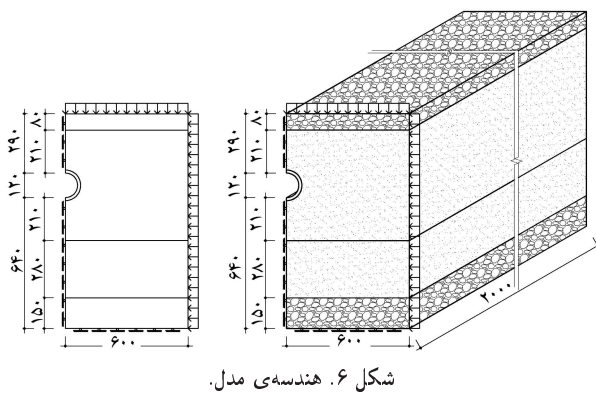
روند کلی حل مسئله توسط نرم‌افزار در شکل ۴ ارائه شده است.^[۲۰]

۵. معرفی مسئله‌ی مورد تحلیل

جهت برآورده نشست سطح زمین، قسمتی از خط لوله‌ی پروژه‌ی شهر همدان بررسی و در نرم‌افزار FLAC^{3D} مدل‌سازی شده است. در شکل ۵، موقعیت مسیر نشان داده شده است. با استفاده از نتایج مربوط به رفتارسنجی خاک در مسیر

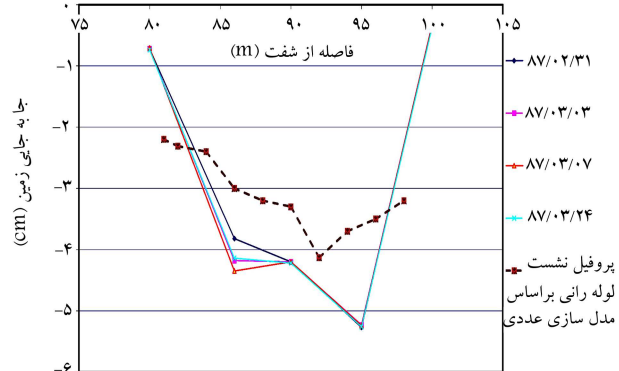
شکل ۵. محدوده مطالعه خط لوله‌ی پروژه‌ی میکروتونلینگ شهر همدان.^[۲۱]





شکل ۷. مدل سازی ۲۰ متر از خط لوله‌ی پروژه توسط نرم‌افزار FLAC^{3D}.

نمودار رفتار سنگی آسفالت و پروفیل حاصل از مدل سازی در مسیر لوله رانی



شکل ۸. مقایسه‌ی پروفیل نشست زمین بر روی نمودار رفتار سنگی آسفالت با مقادیر محاسبه شده.

۷. مدل سازی

شکل ۷، نحوه‌ی مدل سازی و شبکه‌بندی ۲۰ متر از خط لوله‌ی پروژه را در نرم‌افزار FLAC^{3D} نشان می‌دهد. در شکل ۸، نیز مسیری از خط لوله واقع در فاصله‌ی بین ۸۰ تا ۱۰۰ متر از گودال رانش که محدوده‌ی نشست ها در این بازه متغیر بوده است، بررسی شده است.

پروفیل به دست آمده از تحلیل عددی در شکل ۸ به صورت خط‌چین نمایش داده شده است. با توجه به اینکه بنا به دلایلی، مانند: میران دقت در آزمایش‌های مختلف، خطای دستگاه، انتخاب نوع آزمایش و نوع روابط توری جهت تفسیر

جدول ۳. مشخصات مصالح خاک.^[۱۹]

پارامتر	نام	بولدر	لامه‌ی خاکی تا عمق ۹ متر	واحد
مدل رفتاری	موهر - کلمب	موهر - کلمب	-	مدل
مدول حجمی	K	۲۲۲	۲۴,۹	MPa
مدول برشی	G	۱۶۶,۷	۱۳,۳	MPa
ثابت چسبندگی زهکشی نشده	C	۰,۰۰۲	۰,۰۰۴	MPa
زاویه اصطکاک	φ	۴۰	۳۶	O
ضریب پواسون	v	۰,۲	۰,۳	-

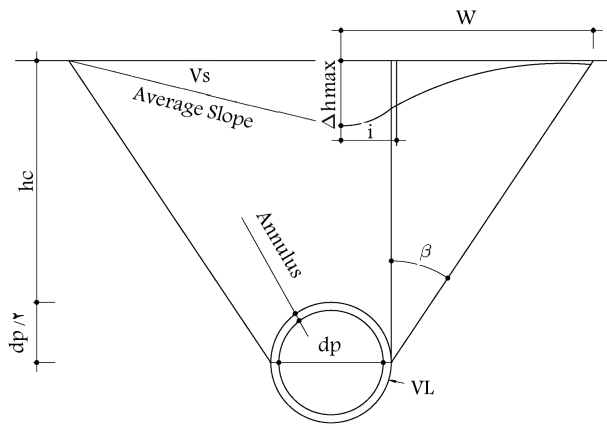
جدول ۴. مشخصات مصالح لوله.^[۲۰]

پارامتر	نام	مقدار	واحد
نوع رفتار	الاستیک	-	-
سختی نرمال	EA	$1,05 \times 10^7$	KN/m
صلبیت خمی	EI	$3,5 \times 10^4$	$KN/m^3/m$
ضریب پواسون	v	۰,۱۵	-
مدول یانگ	E	۱۰,۵	GPa

انتخاب‌ای، مقادیر تغییر شکل‌های به وجود آمده حین لوله‌رانی ثبت شده است. به دلیل طولانی بودن مسیر و همچنین با توجه به نمودارهای حاصل از رفتار سنگی خاک در زمان‌های مختلف قسمتی از مسیر که بیشترین نشست در آن اتفاق افتد، تحلیل شده است. به کمک نرم‌افزار FLAC^{3D}، حدود ۲۰ متر از مسیر لوله‌رانی به روش میکروتونلینگ تحلیل شده و نتایج حاصل از آن با مقادیر واقعی مقایسه شده است.

۶. مشخصات مدل

پارامترهایی مانند: سطح آب زیرزمینی، جنس خاک، میران نفوذپذیری خاک، نیروی اصطکاکی ایجاد شده توسط ماشین حفاری، سربار واردہ به محل و ... در میزان تغییر شکل خاک اطراف لوله نقش دارند و باعث بروز مشکلاتی، مانند: نشست و یا برآمدگی سطح زمین می‌شوند. با استفاده از مطالعات صحرابی و آزمایش‌های آزمایشگاهی، مشخصات خاک محل و سطح آب زیرزمینی شناسایی شده و به کمک نرم‌افزار، تغییر شکل‌های به وجود آمده در خاک در حین لوله‌رانی محاسبه و با مقادیر واقعی حاصل از رفتار سنگی خاک مقایسه شده‌اند. از رایج‌ترین آزمایش‌های درجا جهت تعیین خصوصیات فیزیکی و مکانیکی لایه‌های زمین، آزمایش نفوذ استاندارد (SPT) است. براساس تقسیم‌بندی ترازی، تراکم لایه‌های موجود متوسط تا متراکم است. براساس عدد SPT یعنی N می‌توان با استفاده از روابط تجربی، برخی از پارامترهای مقاومت برشی و تغییر شکل خاک را به دست آورد. در جدول‌های ۳ و ۴، به ترتیب مشخصات خاک و لوله ارائه شده است. لازم به ذکر است که پارامترهای به دست آمده از نتایج آزمایش‌های صحرابی و کتب مرجع با نتایج حاصل از آزمایش‌های آزمایشگاهی تطبیق داده شده است. شکل ۶، شرایط هندسه‌ی مدل را نشان می‌دهد.



شکل ۹. مقطع عرضی حفاری - نشست سیستماتیک.^[۲۰]

که در آن، h_C ارتفاع خاک روی تاج لوله و β زاویه‌ی بین خط مرکزی و نقطه‌ی گوشی منحنی نشست ($\phi/2 = \beta = 45^\circ$)، d_b قطر حفاری شده و V_S حجم خاکی که جای به جا شده است که می‌توان آن را برابر با حجم بین لوله و فضای حفاری در نظر گرفت. در شکل ۹، پارامترهای مذکور توضیح داده شده‌اند. زاویه‌ی بین خط مرکزی و نقطه‌ی گوشی منحنی نشست، به شعاع تونل و عمق آن وابسته است. به کمک رابطه‌ی ۴، تأثیر مستقل و یا توازن چند پارامتر در میزان نشست خاک قابل بررسی است.

۱.۸. تأثیر تغییرات قطر لوله در میزان نشست

در جدول ۵، مقادیر شاخص حساسیت برای نتایج حاصل از مدل‌سازی عددی و همچنین نتایج حاصل از محاسبه‌ی نشست‌های سیستماتیک بر حسب تغییرات قطر لوله محاسبه شده است.

رونده مقدار به دست آمده از هر دو روش مشابه است و با افزایش قطر لوله، مقادیر نشست افزایش می‌یابد. در حالت مبنا برای قطر 120 سانتی‌متر، میزان نشست سیستماتیک $1/98$ سانتی‌متر و نشست حاصل از مدل‌سازی، $2/51$ به دست آمده است. با اعمال 33% تغییر در قطر لوله و انتخاب قطر 80 سانتی‌متر، نتیجه بر روی شاخص SI بررسی شده است. در این حالت برای نشست سیستماتیک، میزان شاخص حساسیت $1/509$ به دست آمده است. به این معنی که با اعمال 33% تغییر در عامل اندازه‌ی قطر لوله، تغییر در میزان نشست سیستماتیک به مقدار $797/49 = 33\% \times 1,509 = 497$ خواهد بود.

میزان شاخص حساسیت برای نشست حاصل از مدل‌سازی عددی $0/37$ است، یعنی با اعمال 33% تغییر در عامل اندازه‌ی قطر لوله، تغییر در میزان نشست حاصل از مدل‌سازی عددی به مقدار $12/21 = 33\% \times 0/37 = 23\%$ خواهد بود. هر چه مقدار شاخص حساسیت، عدد بزرگ‌تری باشد، عامل انتخابی تأثیر بیشتری در نشست دارد. لازم به توضیح است که علامت منفی که در روابط لحاظ شده است، فقط به منظور کاهشی یا افزایشی بودن پارامتر است و در نتایج تأثیری ندارد.

۲.۸. تأثیر تغییرات زاویه‌ی اصطکاک خاک در میزان نشست

یکی دیگر از پارامترهای تأثیرگذار در میزان نشست، جنس خاک است. برای مقادیر کم، تحکیم یا تراکم توده‌ی خاک در محدوده‌ی حفاری در میزان نشست تأثیرگذار است. برای مقادیر بالای β ، زاویه‌ی اتساع ممکن است باعث افزایش نشست شود.

نمونه‌ها ممکن است مقادیر به دست آمده دقیقاً منطبق بر واقعیت نباشد. لذا در نشست زمین پروژه بررسی شده است.

در نمودار ارائه شده از رفتارسنجی آسفالت در زمان‌های مختلف در حین لوله‌رانی، در یک قسمت از مسیر نشستی معادل $3/5$ سانتی‌متر مشاهده می‌شود، انتظار می‌رود در نرم‌افزار نیز بیشترین نشست به دست آمده از مقدار ذکر شده تجاوز نکند.

۸. آنالیز حساسیت

آنالیز حساسیت، ارزیابی مهم برای ارزیابی پارامترها، تخمین پارامترها، طراحی و کنترل بهینه است. تجزیه و تحلیل حساسیت، یک روش برای بررسی تأثیر تغییر در متغیرهای پروژه به صورت مورد به مورد (محتمل ترین ستاریوی نتیجه) است. برای رسیدن به اهداف مذکور، می‌توان از آنالیز حساسیت استفاده کرد:

- تشخیص متغیرهای کلیدی که در روند پروژه و همچنین هزینه‌ها تأثیرگذارند.
- دست‌یابی به نتایج منطقی حاصل از مغایرهای احتمالی در تغییرات پارامترهای کلیدی.
- ارزیابی کردن نتیجه پروژه با توجه به تغییرات.
- شناسایی عامل‌هایی که می‌توانند تأثیر ناسازگاری‌های ممکن روی پروژه را کاهش دهند.

نتایج حاصل از تجزیه و تحلیل حساسیت را می‌توان به کمک شاخص حساسیت تعریف کرد. رابطه‌ی ۲، این عامل را توضیح می‌دهد:

$$(2) SI = \frac{(S_b - S_1)/S_b}{(X_b - X_1)/X_b}$$

که در آن، X_b مقدار متغیر در حالت مبنا؛ X_1 مقدار متغیر در حالت آزمون حساسیت؛ S_b مقدار نشست در حالت مبنا؛ S_1 مقدار نشست در حالت آزمون حساسیت؛ و SI ارزش حساسیت هستند.

در آنالیز مذکور، تأثیر تغییرات در پارامترهای مختلف در میزان نشست بررسی شده است. هنگام ارزیابی حساسیت پارامترهای مختلف باید 2 عامل را در نظر گرفت:

۱. نتایج زمانی معتبر هستند که شرایط مدل‌سازی با شرایط پروژه منطبق باشند.
۲. در واقعیت، در رفتار سیستماتیک شرایط به تنها تغییر نمی‌کند، یعنی تغییر در یک پارامتر موجب تغییرات در موارد دیگر نیز می‌شود. وقتی پارامترهای مختلف هم‌زمان دچار تغییر می‌شوند، تأثیر آنها قابل تشخیص نیست و ممکن است اثر یکدیگر را شدید و یا خشی کنند.

در عملیات میکروتونینگ، برای مواردی که منحنی توزیع نرمال احتمال پایه‌ی منطقی برای نشست کاسه‌یی شکل را تأمین می‌کند، حجم قسمت کاسه‌یی در هر فوت از طول تونل (V_S) را می‌توان به عنوان سطح یک مثلث که شکل منحنی نشست را ایجاد می‌کند، محاسبه کرد (رابطه‌ی ۳):

$$(3) V_S = \Delta h_{max}$$

که در آن، W نصف عرض نشست است که از رابطه‌ی 4 به دست می‌آید:

$$(4) W = \frac{d_b}{2} + (h_C + \frac{d_b}{2}) \tan \beta$$

جدول ۵. آنالیز حساسیت - عامل قطر لوله.

شاخص حساسیت (SI)		میزان نشست (cm)		قطر لوله (cm)	
میزان تغییر سیستماتیک	میزان نشست (cm)	میزان تغییر سیستماتیک	میزان نشست (cm)	میزان تغییر سیستماتیک	میزان نشست (cm)
۰,۳۷۰۵	۱,۵۰۹۸	۱,۷۵	۰,۹۸۳۸	-۲۳	۸۰
۰,۳۸۲۴	۱,۶۰۱۹	۲,۳۵	۱,۴۵۱۹	-۱۷	۱۰۰
-	-	۲,۰۱	۱,۹۸۰۷	۰	۱۲۰
۰,۵۳۰۶	۱,۷۵۸۵	۲,۷۳۲	۲,۵۶۱۳	۱۷	۱۴۰
۰,۶۴۰۶	۱,۸۲۵۶	۳,۰۴۶	۳,۱۸۶۱	۳۳	۱۶۰

جدول ۶. آنالیز حساسیت - عامل زاویه‌ی اصطکاک.

شاخص حساسیت (SI)		میزان نشست (cm)		زاویه‌ی اصطکاک (cm)	
میزان تغییر سیستماتیک	میزان نشست (cm)	میزان تغییر سیستماتیک	میزان نشست (cm)	میزان تغییر سیستماتیک	میزان نشست (cm)
۰,۸۴۷۹	۰,۴۷۸۳	۲,۵	۱,۴۳۰۳	۵۷	۱۵
۰,۱۳۰۵	۰,۴۹۹۲	۲,۵	۱,۵۴۴۷	۴۳	۲۰
۱,۶۵۹۷	۰,۵۲۵۲	۲,۰۵	۱,۶۷۰۳	۲۹	۲۵
۳,۲۹۰۷	۰,۵۰۴۶	۲,۰۷	۱,۸۰۹۵	۱۴	۳۰
-	-	۲,۰۸	۱,۹۶۵۲	۰	۳۵
-۳,۲۷۶۲	۰,۶۲۷۱	۲,۰۸	۲,۱۴۱۳	-۱۴	۴۰

۳.۸. تأثیر تغییرات هم‌زمان زاویه‌ی اصطکاک خاک و قطر و ضخامت لایه‌ی خاکی در میزان نشست

در بخش کنونی، برای مقادیر مختلف زاویه‌ی اصطکاک، پارامترهای قطر لوله و ضخامت لایه‌ی خاکی روی لوله بررسی شده است. ابتدا، زاویه‌ی اصطکاک برای ۶ مقدار مختلف از نسبت که در آن با ثابت نگه داشتن قطر حفاری (معادل $d = 1,5m$) مقدار ضخامت خاک بالای لوله تغییر پیدا کرده است، بررسی شده است. میزان تغییرات لایه‌ی خاک از $2/4$ تا $2/5$ متر در نظر گرفته شده است. در شکل ۱۵، نتایج تحلیل به صورت نمودار ارائه شده است که مطابق آنها هر چه نسبت ارتقاء لایه‌ی خاکی به قطر لوله، عدد کمتری باشد (به عبارتی هر چه عمق حفاری کاهش یابد)، شبیه تغییرات نشست افزایش و مقادیر نشست بزرگ‌تری به دست می‌آید. با بررسی تک‌تک نمودارها برای یک نسبت ثابت از H/D می‌توان دریافت با افزایش زاویه‌ی اصطکاک، میزان نشست افزایش می‌یابد. همچنین با افزایش عمق استقرار لوله، علاوه بر کاهش مقدار نشست، شب تغییرات نشست نیز کاهش می‌یابد. به عنوان مثال، اگر نسبت H/D معادل با $2/5$ در نظر گرفته شود، با افزایش زاویه‌ی اصطکاک از مقدار ۵ درجه، تغییرات نشست از $2/۰\cdot۹$ به $2/۰\cdot۹۲$ میلی‌متر افزایش می‌یابد. در حالی که برای نمودارهای با نسبت H/D بیشتر، این تغییر بسیار کم و برای نسبت‌های کمتر بسیار بالاتر است.

بار دیگر برای ۹ مقدار مختلف از نسبت H/D ، با ثابت نگه داشتن ضخامت خاک بالای لوله، مقدار قطر حفاری تغییر پیدا کرده است. در این حالت ضخامت لایه‌ی خاکی، $۳,۷۵$ متر در نظر گرفته شده و بازه‌ی تغییرات قطر لوله از $۰,۶۵$ تا $۱,۰$ بوده است. شکل ۱۱، میزان نشست را نشان می‌دهد که مطابق آن با ثابت نگه داشتن ضخامت لایه‌ی خاکی، با افزایش قطر لوله، میزان نشست افزایش می‌یابد. همچنین زید شدن زاویه‌ی اصطکاک نیز به این افزایش کمک می‌کند.

با توجه به رابطه‌ی ۴ با افزایش زاویه‌ی اصطکاک، عرض مقطع نشست افزایش می‌یابد، زیرا در این صورت مقدار β در حال کاهش است. در جدول ۶، برای نتایج حاصل از مدل‌سازی عددی و رابطه‌ی نشست سیستماتیک، مقدار شاخص حساسیت محاسبه شده است. همان‌طور که ملاحظه می‌شود، میزان نشست محاسبه شده از روی مدل‌سازی عددی نسبت به نتایج سیستماتیک مقادیر بیشتری نشان می‌دهد. احتمالاً علت را می‌توان این‌گونه تفسیر کرد: از آنجایی که نشست سیستماتیک بر پایه‌ی هندسه‌ی مدل است، تأثیر برخی از پارامترها، مانند: سطح آب زیرزمینی، تأثیر لایه‌های خاکی دیگر... در نظر گرفته نمی‌شود.

در حالت مبنا برای زاویه‌ی اصطکاک 35° ، میزان نشست سیستماتیک $1,96$ سانتی‌متر و نشست حاصل از مدل‌سازی $2,58$ بدست آمده است. با اعمال 29% تغییر در زاویه‌ی اصطکاک و انتخاب زاویه‌ی اصطکاک 25° ، نتیجه بر روی شاخص SI بررسی شده است. در این حالت برای نشست سیستماتیک، میزان شاخص حساسیت $5,252 \times 0,05252 = 0,29052$ بدست آمده است. به این معنی که با اعمال 29% تغییر در عامل زاویه‌ی اصطکاک، در میزان نشست سیستماتیک به میزان $15,23$ نشست حاصل از مدل‌سازی عددی $1,6597$ است، یعنی با اعمال 29% تغییر در عامل اندازه‌ی قطر لوله، در میزان نشست حاصل از مدل‌سازی عددی به مقدار $48,13 \times 0,16597 = 7,88$ تغییر خواهد بود. با مقایسه‌ی میزان نشست برای دو حالت مذکور ملاحظه می‌شود که اگرچه مقدار نشست در حالت مدل‌سازی بیشتر از حالت سیستماتیک است، ولی میزان تغییرات آن کمتر است و درنهایت با درنظر گرفتن شاخص حساسیت تأثیر نشست حاصل از مدل‌سازی بیشتر می‌شود.

- با مقایسه‌ی نتایج حاصل از شاخص حساسیت در قطر لوله و زاویه‌ی اصطکاک ملاحظه می‌شود که پارامتر تغییر در قطر لوله بیشتر در نشست سیستماتیک اثر می‌گذارد و زاویه‌ی اصطکاک غالباً در نشست حاصل از مدل‌سازی تأثیرگذار است.

۹. نتیجه‌گیری

پارامترهایی مانند: سطح آب زیرزمینی، جنس خاک، میزان نفوذپذیری خاک، نیروی اصطکاکی ایجاد شده توسط ماشین حفاری، سربار واردہ به محل ... در میزان تغییر شکل خاک اطراف لوله نقش دارند و باعث بروز مشکلاتی مانند نشت و یا برآمدگی سطح زمین می‌شوند. یکی از روش‌های بررسی تأثیر پارامترهای مختلف، ارزیابی حساسیت پارامترهاست. در رابطه با سطح آب زیرزمینی با افزایش سطح آب زیرزمینی، علی‌رغم اینکه میزان نیروی جک‌زنی برای هر دو نوع خاک‌های نفوذپذیر و نفوذناپذیر کاهش می‌یابد، با افزایش سطح آب زیرزمینی، نشت افزایش می‌یابد. تأثیر افزایش فشار آب زیرزمینی در خاک‌های با نفوذپذیری کم، قابل چشم‌بوشی است. زیرا به دلیل سرعت بالای تونل‌زنی، اجازه‌ی زهکشی به خاک داده نمی‌شود و می‌توان شرایط زهکشی نشده را در این حالت در نظر گرفت. همان‌طور که ملاحظه می‌شود، میزان نشت محاسبه شده از روی مدل سازی عددی نسبت به نتایج سیستماتیک، مقادیر بیشتری نشان می‌دهد. احتمالاً اعلت را می‌توان این‌گونه تفسیر کرد از آنجایی که نشت سیستماتیک بر پایه‌ی هندسه‌ی مدل است، تأثیر برخی از پارامترها مانند: سطح آب زیرزمینی، تأثیر لایه‌های خاکی دیگر ... در نظر گرفته نمی‌شود. با مقایسه‌ی نتایج حاصل از شاخص حساسیت در قطر لوله و زاویه‌ی اصطکاک ملاحظه می‌شود که پارامتر تغییر در قطر لوله، بیشتر در نشت سیستماتیک اثر می‌گذارد و زاویه‌ی اصطکاک غالباً در نشت سیستماتیک مؤثر است.

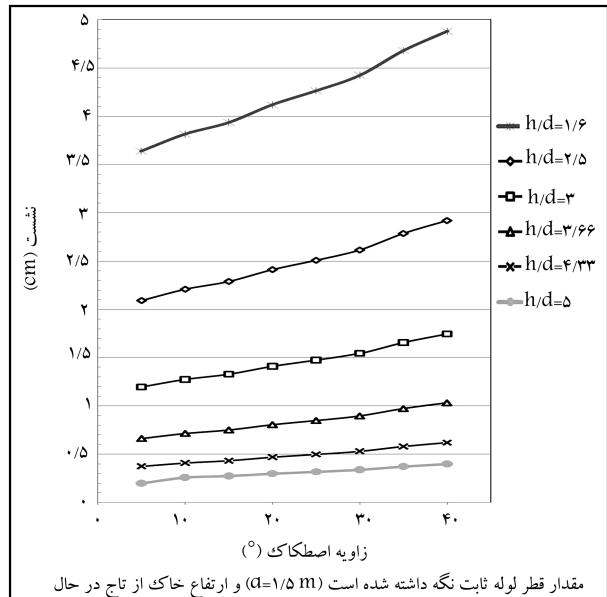
هر چه نسبت ارتفاع لایه‌ی خاکی به قطر لوله، عدد کمتری باشد (به عبارتی هر چه عمق حفاری کاهش یابد)، شیب تغییرات نشت افزایش و مقادیر نشت بزرگ‌تری به دست می‌آید. با بررسی تک‌تک نمودارها برای یک نسبت ثابت از H/D می‌توان دریافت با افزایش زاویه‌ی اصطکاک، میزان نشت افزایش می‌یابد. همچنین با افزایش عمق استقرار لوله، علاوه بر کاهش مقادیر نشت، شیب تغییرات نشت نیز کاهش می‌یابد. با ثابت نگه داشتن ضخامت لایه‌ی خاکی، با افزایش قطر لوله، میزان نشت افزایش می‌یابد و زیاد شدن زاویه‌ی اصطکاک نیز به آن کمک می‌کند.

تقدیر و تشکر

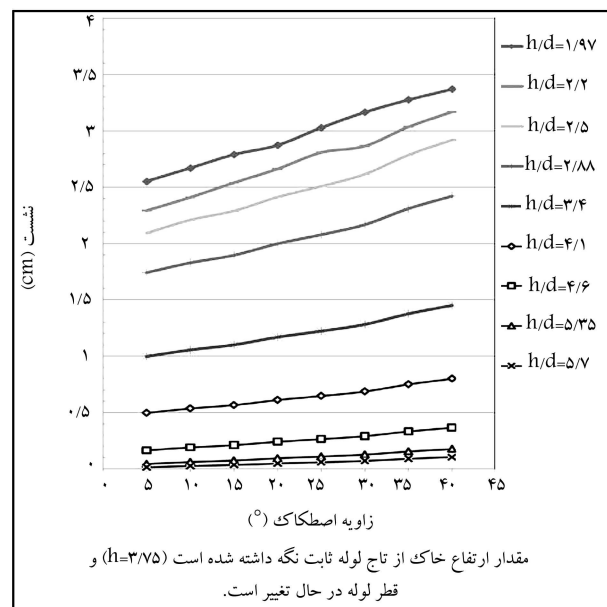
در پایان لازم است از همکاری صمیمانه‌ی جناب آقای مهندس سلطان سنجرجی، رئیس کارگاه پژوهشی میکروتونلینگ شبکه‌ی جمع‌آوری فاضلاب مشارکت کیسون-مشرف تشکر و قدردانی شود.

منابع (References)

1. Leca, E. and New, B. "Settlements induced by tunnelling in Soft Ground", *Tunneling and Underground Space Technology*, **22**, pp. 119-147 (2007).
2. Peck, R.B. "Deep excavations and tunneling in soft



شکل ۱۰. تأثیر هم‌زمان تغییرات پارامترها در میزان نشت با مقدار قطر لوله ثابت.



شکل ۱۱. تأثیر هم‌زمان تغییرات پارامترها در میزان نشت با مقدار ارتفاع خاک ثابت.

"ground", State of the Art Report, *Proceedings, of 7th International Conference on Soil Mechanics and Foundation Engineering*, pp. 225-325, State of Mexico City, Mexico (1969).

3. Schmid, L.B. "Settlements and ground movements associated with tunnelling in Soil", Ph.D. Thesis, University of Illinois, Urbana, IL, pp. 1-22 (1969).

4. Bennett, R.D., *Jacking Loads and Ground Deformations Associated with Microtunneling*, Mississippi State University (1986).
5. Peck, R.B., Hendron, A.J. and Mohraz, B. "State of the art of the soft ground tunneling", *Proceedings of first North American Rapid Excavation and Tunneling Conference (RETC)*, AIME, 1, Chapter 19, pp. 259-286 (1972).
6. Rogers, C. "Comparison of ground disturbance for trenching and pipe Bursting Operations: Part t", *VODIG Engineering*, **2**(4), pp.9-20 (1995).
7. Cording, E., Hansmire, J., MacPherson, W.H., Lenzini, H.H. and Vanderhohe A.P. "Displacements around tunnels in soil", Report No. DOT-TST-TGT-21, U.S. Department of Transportation (Aug 1976).
8. Atalah, A. "Case history of microtunneling through a very soft soil condition", *International Journal of Economics and Management Engineering (IJEME)*, **3**(1), pp. 23-28 (Mar 2013).
9. Boyce, G., Havekost, M., Camp, C. and Joyal, N. "Grade control for microtunnels in very loose and very soft soils", North American Society for Trenchless Technology (NASTT), Paper B-5-02 (May 2-7 2010).
10. Wen, G., Koo, D.H. and Liu, W. "Analysis on failure factors and a case study for a microtunneling pipe installation", American Society of Civil Engineers (2011).
11. Olson, P.O., Ariaratnam, S.T. and Lueke, J.S., "Jacking force and productivity analysis of pilot tube micro-tunneling installations", American Society of Civil Engineers (2015).
12. Liu, W.-T. and Lu, X.-Y. "3D numerical analysis of soil structure interaction behaviors of pipe jacking construction", *Applied Mechanics and Materials*, **2**, pp. 534-538 (2012).
13. Chakeri, H., Ozcelik, Y. and Unver, B. "Effects of important factors on surface Settlement prediction for metro tunnel excavated by EPB", *Tunnelling and Underground Space Technology*, **36**, pp. 14-23 (2013).
14. Chen, S.L., Gui, M.W. and Yang, M.C. "Applicability of the principle of superposition in estimating ground surface settlement of twin-and quadruple-tube tunnels", *Tunnelling and Underground Space Technology*, **28**, pp. 135-149 (2012).
15. Bennett, D. "Jacking force and ground deformations associated with microtunneling", Urbana, IL., Ph.D. Dissertation, The University of Illinois (1998).
16. Najafi, M. and Iseley, D.T. "Evaluation of PVC Pipe for Microtunneling", In *Proceedings of the Symposium on Buried Plastic Pipe Technology*, Philadelphia, American Society for Testing Material (1994).
17. *Micro Tunneling and Horizontal Drilling*, French National Project Microtunnels Guidelines /FSTT (2006).
18. *Technologies without Trench by Pipe Jacking and Micro-tunneling*, Kison Company (2005).
19. Hossaini, S.M., Shaban, M. and Talebnejad, A. "Relationship between twin tunnels distance and surface subsidence in soft ground of Tabriz Metro-IRAN", *Coal Operators' Conference* (2012).
20. ITASCA, FL3D Version 3.0, "Fast lagrangian analysis of continua in 3 dimensions", ITASCA Consulting Group Inc. (2005).
21. *Report of Geo-Technic Study for Sewage Scheme of Hamedan*, Mahab Ghods Consulting Engineering Company (2005).